

Estación sísmica

del Observatorio Fabra, de la Academia de Ciencias y Artes

$\varphi = 41^\circ 25' 6''$ N.

$\lambda = 8^m 29^s, 7 = 2^\circ 8'$ E. Gr.

Altitud = 405 m.

Subsuelo: Pizarras paleozoicas.

	V	T_0	$\epsilon : 1$	$\frac{r}{T_0^2}$	Masa, Kg.
Péndulos Mainka:	K_N	64	9,6	2,9	141,2
	K_E	82	9,7	3,6	144,1
Microsismógrafo Vicentini:	K_Z	1,25	0,9	—	—

Fecha	Fase	Tiempo medio de Greenwich			Período	Amplitud			Δ	Observaciones
		h.	m.	s.		A_N	A_E	A_Z		
					s.	μ	μ	μ	Km.	
1 enero (n.º 1)	e	13	40	40	5	—	—	—	4970	
	eS	13	47	21	7	—	—	—	—	
	F	14	8	—	—	—	—	—	—	
3 enero (n.º 2)	eL	2	27	21	34	—	—	—	—	
	M_N	2	29	39	23	—	—	—	—	
	M_E	2	30	32	22	—	—	—	—	
	F	2	38	—	—	—	—	—	—	
3 enero (n.º 3)	i	19	42	4	—	—	—	—	22	L - P = 2,4 ^{s'}
	L	19	42	6	—	—	—	—	—	
4 enero (n.º 4)	iP	14	45	50	3	—	—	—	2210	
	eS	14	49	31	5	—	—	—	—	
	eL	14	56	5	22	—	—	—	—	
	M_N	14	52	31	31	—	—	—	—	
	M_E	14	58	5	9	—	40	—	—	
4 enero (n.º 5)	F	15	38	—	—	—	—	—	—	
	P	16	24	26	2	—	—	—	2180	
	eS	16	28	5	8	—	—	—	—	
	eL	16	29	5	33	—	—	—	—	
	M_N	16	31	13	22	—	—	—	—	
23 enero (n.º 6)	M_E	16	33	31	13	—	—	—	—	
	F	17	3	—	—	—	—	—	—	
	S	7	47	29	9	—	—	—	—	
	eL	7	53	48	19	—	—	—	—	
	M_E	8	17	41	21	—	—	—	—	
22 febrero (n.º 7)	M_N	8	20	14	22	—	—	—	—	
	F	9	8	—	—	—	—	—	—	
	eP	17	19	16	2	—	—	—	9160	
	eS	17	29	35	—	—	—	—	—	
	L	17	42	16	37	—	—	—	—	
25 febrero (n.º 8)	M_E	17	59	33	15	—	—	—	—	
	M_N	18	00	35	17	—	—	—	—	
	F	18	48	—	—	—	—	—	—	
	iP	2	55	40	4	—	50	—	2010	
12 marzo (n.º 9)	iS	2	59	4	8	60	—	—	—	
	F	3	14	—	—	—	—	—	—	
		18	55 aprox.		—	—	—	—	—	
14 marzo (n.º 10)	P	17	3	50	—	—	—	—	610	
	S	17	4	57	—	—	—	—	—	
	M_N	17	6	29	3	—	—	—	—	
	M_E	17	6	34	5	—	—	—	—	
	F	17	9	—	—	—	—	—	—	

Tembor de grado III - IV M
sentido en Murcia.



Barcelona (Observatorio Fabra)

Fecha	Fase	Tiempo medio de Greenwich			Periodo	Amplitud			Δ	Observaciones
		h.	m.	s.		A _N	A _E	A _Z		
					s.	μ	μ	μ	Km.	
18 marzo (n.º 11)	P	8	45	10	2	—	—	—	2270	
	S	8	48	56	6	—	—	—	—	
	F	8	59	—	—	—	—	—	—	
19 marzo (n.º 12)	eP	7	28	30	—	—	—	—	640	
	eS	7	29	40	—	—	—	—	—	
	eL	7	29	43	{ 4 15	—	—	—	—	
	M _N	7	30	53	6	—	—	—	—	
	M _E	7	30	58	6	—	—	—	—	
	F	7	42	—	—	—	—	—	—	
29 marzo (n.º 13)	eL	13	54	33	41	—	—	—	—	
	M	14	6	11	19	—	—	—	—	
	F	14	31	—	—	—	—	—	—	
30 marzo (n.º 14)	eL	22	13	2	20	—	—	—	—	
	M	22	15	2	16	—	—	—	—	
	F	22	26	—	—	—	—	—	—	
31 marzo (n.º 15)	eP	3	24	49	3	—	—	—	2070	
	eL	3	28	18	3	—	—	—	—	
	M _N	3	30	51	13	—	—	—	—	
	M _E	3	32	17	11	—	—	—	—	
	F	3	40	—	—	—	—	—	—	
11 abril (n.º 16)	e	23	22	18	—	—	—	—	—	
	L	23	31	22	22	—	—	—	—	
	F	24	14	—	—	—	—	—	—	
19 abril (n.º 17)	iP	15	26	49	8	45	30	—	1690	
	iS	15	29	44	15	275	50	—	—	
	eL	15	30	8	27	425	465	—	—	
	M _{E1}	15	32	52	15	—	545	—	—	
	M _{E2}	15	33	45	15	—	770	—	—	
	M _{N1}	15	34	4	13	595	—	—	—	
	M _{E3}	15	35	00	11	—	285	—	—	
	M _{N2}	15	36	00	12	280	—	—	—	
	M _{N3}	15	37	20	10	175	—	—	—	
	F	18	00	—	—	—	—	—	—	
19 abril (n.º 18)	eP	18	3	41	—	—	—	—	—	
	eL	18	5	37	17	—	—	—	—	
	M _N	18	8	00	15	—	—	—	—	
	M _E	18	8	22	12	—	—	—	—	
	F	18	25	—	—	—	—	—	—	
19 abril (n.º 19)	e	20	35	28	—	—	—	—	—	
	eL	20	38	15	22	—	—	—	—	
	M _E	20	42	18	13	—	45	—	—	
	M _N	20	43	00	11	45	—	—	—	
	F	21	00	—	—	—	—	—	—	

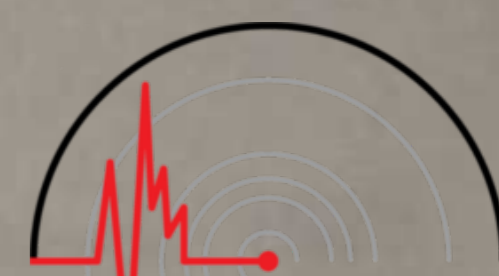
N.º 171

Del 20 de abril al 24 de junio
de 1935

Barcelona

Estación sísmica

del Observatorio Fabra, de la Academia de Ciencias y Artes



Toda la correspondencia
al Dr. E. Fontseré, Academia de
Ciencias y Artes, Barcelona (España)

$\varphi = 41^\circ 25' 6''$ N.

$\lambda = 8^m 29^s, 7 = 2^\circ 8'$ E. Gr

Altitud = 405 m.

Subsuelo: Pizarras paleozoicas.

	V	T_0	$\epsilon : 1$	$\frac{r}{T_0^2}$	Masa, Kg.
Péndulos Mainka:	K_N	63	9,6	3,0	141,2
	K_E	80	9,7	3,6	144,1
Microsismógrafo Vicentini:	K_Z	1,25	0,9	—	—

Fecha	Fase	Tiempo medio de Greenwich			Período	Amplitud			Δ	Observaciones
		h.	m.	s.		A_N	A_E	A_Z		
					s.	μ	μ	μ	Km.	
20 abril (n.º 20)	e P	5	14	22	5	—	—	—	1790	
	e S	5	17	15	12	—	—	—		
	e L	5	17	41	22	—	—	—		
	M _E	5	21	52	13	—	160	—		
	M _N	5	22	00	12	110	—	—		
	F	6	3	—	—	—	—	—		
20 abril (n.º 21)	e	22	26	21	—	—	—	—		
	e S	22	35	59	8	—	—	—		
	e L	22	47	40	32	—	—	—		
	M _N	22	55	18	20	—	—	—		
	M _E	22	57	44	18	—	115	—		
	F	23	54	—	—	—	—	—		
1 mayo (n.º 22)	e	10	30	16	—	—	—	—		
	e L	10	37	3	—	—	—	—		
	M	10	46	7	11	—	—	—		
	F	11	10	—	—	—	—	—		
7 mayo (n.º 22 bis)	—	21	50	(apr.)	—	—	—	—		Grado V M en Ontaniente (D. J. M. Reig, pbro.)
14 mayo (n.º 23)	R ₁ P	23	40	57	6	—	—	—	9280	
	S	23	47	23	8	—	—	—		
	L	24	11	23	37	—	—	—		
	M	24	17	49	19	—	—	—		
	F	24	52	—	—	—	—	—		
24 mayo (n.º 24)	e P	5	55	12	4	—	—	—		
	e L	6	33	20	31	—	—	—		
	M _N	6	44	48	18	—	—	—		
	M _E	6	46	38	15	—	—	—		
	F	7	30	—	—	—	—	—		
30 mayo (n.º 25)	P	20	42	8	5	—	—	—	5900	
	R ₁ P	20	44	4	5	—	—	—		
	S	20	49	39	8	—	—	—		
	P S	20	50	4	11	30	—	—		
	L	20	56	4	53	—	—	—		
	M _{N1}	21	2	45	28	580	—	—		
	M _{N2}	21	8	34	19	390	—	—		
	M _{E1}	21	9	50	19	—	270	—		
	M _{E2}	21	12	45	13	—	125	—		
	M _{N3}	22	14	1	15	210	—	—		
F	24	4	—	—	—	—	—			
24 junio (n.º 26)	P	23	42	51	2	—	—	—		
	e L	24	15	34	22	—	—	—		
	F	25	32	—	—	—	—	—		

Barcelona (Observatorio Fabra)



Fecha	Fase	Tiempo medio de Greenwich			Período	Amplitud			Δ	Observaciones
		h.	m.	s.		A _N	A _E	A _Z		
					s.	μ	μ	μ	Km.	
// 27 junio (n.º 27)	e P	17	23	3	—	—	—	—	640	
	e S	17	24	13	3	—	—	—		
	L	17	24	30	11	—	—	—		
	F	17	32	—	—	—	—	—		
/ 29 junio (n.º 28)	e P	7	1	11	22	—	—	—	—	
	e L	7	20	3	26	—	—	—	—	
	M _E	7	38	59	19	—	—	—	—	
	M _N	7	41	10	16	—	—	—	—	
	F	8	19	—	—	—	—	—	—	
// 5 julio (n.º 29)	P	18	1	58	4	—	—	—	—	
	e S	18	8	53	9	—	—	—	—	
	e L	18	12	47	19	—	—	—	—	
	M _N	18	23	2	19	—	—	—	—	
	M _E	18	28	52	15	—	—	—	—	
	F	18	47	—	—	—	—	—	—	
16 julio (n.º 30)	e L	17	9	37	—	—	—	—	—	
	M _E	17	19	00	12	—	—	—	—	
	M _N	17	20	20	10	—	—	—	—	
	F	17	43	—	—	—	—	—	—	
/ 17 julio (n.º 31)	e L	4	46	47	—	—	—	—	—	
	M _N	5	0	48	12	—	—	—	—	
	M _E	5	2	37	11	—	—	—	—	
	F	5	25	—	—	—	—	—	—	
17 julio (n.º 32)	e L	11	34	2	15	—	—	—	—	
	M	11	41	43	19	—	—	—	—	
	F	11	58	—	—	—	—	—	—	
18 julio (n.º 33)	e	16	12	48	20	—	—	—	—	
	M	16	17	40	12	—	—	—	—	
	F	16	30	—	—	—	—	—	—	
19 julio (n.º 34)	e L	1	37	10	27	—	—	—	—	
	M _E	1	48	31	18	—	—	—	—	
	M _N	1	48	46	21	—	—	—	—	
	F	2	12	—	—	—	—	—	—	
26 julio (n.º 35)	e L	11	59	37	40	—	—	—	—	
	F	12	37	—	—	—	—	—	—	
/ 29 julio (n.º 36)	e	7	58	1	3	—	—	—	—	
	e L	8	36	34	33	—	—	—	—	
	F	9	30	—	—	—	—	—	—	
// 1 agosto (n.º 37)	e L	16	43	3	22	—	—	—	—	
	M _N	16	48	00	22	—	—	—	—	
	M _E	16	57	1	19	—	—	—	—	
	F	17	6	—	—	—	—	—	—	
// 3 agosto (n.º 38)	e	1	23	8	—	—	—	—	9350	
	e S	1	33	35	—	—	—	—		
	e L	1	47	9	37	—	—	—		
	M _N	2	4	29	17	—	—	—		
	M _E	2	10	58	19	—	—	—		
	F	3	9	—	—	—	—	—		

Estación sísmica

del Observatorio Fabra, de la Academia de Ciencias y Artes

$\varphi = 41^\circ 25' 6''$ N.

$\lambda = 8^m 29^s, 7 = 2^\circ 8'$ E. Gr.

Altitud = 405 m.

Subsuelo: Pizarras paleozoicas.

	V	T_0	$\epsilon : 1$	$\frac{r}{T_0^2}$	Masa, Kg.
Péndulos Mainka:	K_N	66	9,7	3,8	141,2
	K_E	80	9,5	2,9	144,1
Microsismógrafo Vicentini:	K_Z	1,25	0,9	—	—

Fecha	Fase	Tiempo medio de Greenwich			Período	Amplitud			Δ	Observaciones
		h.	m.	s.		A_N	A_E	A_Z		
					s.	μ	μ	μ	Km.	
17 agosto (n.º 39)	e	2	4	36	3	—	—	—	2350	
	RP	2	5	17	3	—	—	—		
	S	2	8	29	9	—	—	—		
	eL	2	11	29	20	—	—	—		
	M_N	2	19	36	17	—	—	—		
	M_E	2	19	41	18	—	—	—		
	F	4	14	—	—	—	—	—		
22 agosto (n.º 40)	eL	21	00	2	15	—	—	—		
	M	21	5	00	11	—	—	—		
	F	21	10	—	—	—	—	—		
25 agosto (n.º 41)	eL	5	20	58	19	—	—	—		
	M	5	31	47	13	—	—	—		
	F	6	5	—	—	—	—	—		
3 septbre. (n.º 42)	P	17	38	51	4	—	—	—		
	eL	17	43	14	19	—	—	—		
	F	18	2	—	—	—	—	—		
4 septbre. (n.º 43)	e	1	48	46	6	—	—	—		
	e	1	54	44	7	—	—	—		
	eL	2	13	50	16	—	—	—		
	M_{N_1}	2	29	19	22	—	—	—		
	M_{E_1}	2	34	50	15	—	—	—		
	M_{N_2}	2	40	35	14	45	—	—		
	M_{E_2}	2	40	49	14	—	40	—		
	F	3	16	—	—	—	—	—		
9 septbre. (n.º 44)	e	6	37	30	5	—	—	—		
	eL	7	9	41	38	—	—	—		
	M_N	7	17	20	31	—	—	—		
	M_{E_1}	7	19	5	26	—	—	—		
	M_{E_2}	7	32	0	19	—	—	—		
	F	8	2	—	—	—	—	—		
11 septbre. (n.º 45)	eP	14	16	59	4	—	—	—	9790	
	S	14	27	47	11	—	—	—		
	SKS	14	27	25	7	—	—	—		
	L	14	37	12	25	—	—	—		
	M_{N_1}	14	57	34	19	180	—	—		
	M_{E_1}	14	59	32	19	—	130	—		
	M_{N_2}	15	1	46	20	320	—	—		
	M_{E_2}	15	3	4	17	—	95	—		
	F	16	00	—	—	—	—	—		



Barcelona (Observatorio Fabra)

Fecha	Fase	Tiempo medio de Greenwich			Período	Amplitud			Δ	Observaciones
		h.	m.	s.		s.	A _N	A _E		
						μ	μ	μ	Km.	
19 septbre. (n.º 46)	e	3	12	54	4	—	—	—	1360	
	eS	3	15	18	5	—	—	—	—	
	eL	3	15	37	17	—	—	—	—	
	M _E	3	17	48	9	—	—	—	—	
	M _N	3	17	57	9	—	—	—	—	
	F	3	31	—	—	—	—	—	—	
20 septbre. (n.º 47)	e	2	6	22	—	—	—	—	—	
	S	2	25	25	15	90	—	—	—	
	eL	2	39	41	80	—	—	—	—	
	M _{E1}	2	51	22	39	—	580	—	—	
	M _{E2}	2	54	41	28	—	420	—	—	
	M _N	3	7	45	23	310	—	—	—	
	F	4	49	—	—	—	—	—	—	
20 septbre. (n.º 48)	eP	5	44	20	7	—	—	—	—	
	eL	6	24	8	23	—	—	—	—	
	M _E	6	31	17	27	—	—	—	—	
	M _N	6	35	13	20	—	—	—	—	
	F	7	56	—	—	—	—	—	—	
23 septbre. (n.º 49)	e	9	39	31	8	—	—	—	—	
	eL	10	21	7	39	—	—	—	—	
	F	11	43	—	—	—	—	—	—	
24 septbre. (n.º 50)	e	22	34	38	9	—	—	—	—	
	eL	22	50	57	22	—	—	—	—	
	M _N	23	1	11	15	—	—	—	—	
	M _E	23	1	11	18	—	—	—	—	
	F	23	25	—	—	—	—	—	—	
28 septbre. (n.º 51)	P	16	19	29	1	—	—	—	580	
	eS	16	19	33	1	—	—	—	—	
	eL	16	20	37	7	—	—	—	—	
	F	16	24	—	—	—	—	—	—	
2 octubre (n.º 52)	P	5	45	53	5	—	—	—	8570	
	eS	5	55	42	—	—	—	—	—	
	eL	6	23	59	19	—	—	—	—	
	M _N	6	27	30	19	—	—	—	—	
	M _E	6	29	27	15	—	—	—	—	
	F	7	3	—	—	—	—	—	—	
9 octubre (n.º 53)	eS	22	19	3	—	—	—	—	—	
	eL	22	21	37	32	—	—	—	—	
	M _N	22	25	22	15	—	—	—	—	
	M _E	22	26	43	13	—	—	—	—	
	F	22	53	—	—	—	—	—	—	
12 octubre (n.º 54)	eP	16	55	16	2	—	—	—	—	
	eL	17	28	48	37	—	—	—	—	
	M _E	17	38	16	19	—	—	—	—	
	M _N	17	39	25	15	80	—	—	—	
	F	18	41	—	—	—	—	—	—	
13 octubre (n.º 55)	eL	2	49	45	25	—	—	—	—	
	F	3	6	—	—	—	—	—	—	

Estación sísmica

del Observatorio Fabra, de la Academia de Ciencias y Artes

$\varphi = 41^\circ 25' 6''$ N.

$\lambda = 8^m 29^s$, $\gamma = 2^\circ 8'$ E. Gr.

Altitud = 405 m.

Subsuelo: Pizarras paleozoicas.

	V	T_0	$\epsilon : 1$	$\frac{r}{T_0^2}$	Masa, Kg.	
Péndulos Mainka:	K_N	63	9,6	3,0	0,01	141,2
	K_E	82	9,5	4,0	0,01	144,1
Microsismógrafo Vicentini:	K_Z	1,25	0,9	—	—	—

Fecha	Fase	Tiempo medio de Greenwich			Período	Amplitud			Δ	Observaciones
		h	m	s		A_N	A_E	A_Z		
					s.	μ	μ	μ	Km.	
18 octubre (n.º 56)	e	0	24	54	8	—	—	—	10330	
	e S	0	36	7	14	—	—	—	—	
	e L	0	54	48	33	—	—	—	—	
	M_{N_1}	1	4	43	19	—	—	—	—	
	M_{N_2}	1	9	20	16	—	70	—	—	
	F	2	56	—	—	—	—	—	—	
18 octubre (n.º 57)	e	11	24	51	5	—	—	—	8630	
	e S	11	34	43	12	—	—	—	—	
	e L	12	1	51	30	—	—	—	—	
	M	12	14	22	25	—	—	—	—	
	F	12	37	—	—	—	—	—	—	
18 octubre (n.º 58)	e L	15	40	41	23	—	—	—	—	
	M	15	48	51	11	—	—	—	—	
	F	16	15	—	—	—	—	—	—	
1 novbre. (n.º 59)	e L	6	33	11	22	—	—	—	—	
	F	7	44	—	—	—	—	—	—	
1 novbre. (n.º 60)	e L	17	7	35	34	—	—	—	—	
	M_N	17	10	44	22	—	—	—	—	
	M_E	17	11	49	19	—	—	—	—	
	F	17	52	—	—	—	—	—	—	
25 novbre. (n.º 61)	e	10	15	53	4	—	—	—	8120	
	e S	10	25	19	8	—	—	—	—	
	M_E	11	7	00	—	—	—	—	—	
	F	11	39	—	—	—	—	—	—	
14 dicbre. (n.º 62)	i	1	42	40	—	—	—	—	—	
	i S (?)	1	52	14	9	—	—	—	—	
	F	2	13	—	—	—	—	—	—	
14 dicbre. (n.º 63)	P	22	17	52	11	—	—	—	9100	
	e S	22	28	8	15	—	—	—	—	
	e L	22	41	15	28	—	—	—	—	
	M_E	22	50	38	21	—	270	—	—	
	M_N	22	51	00	17	—	—	—	—	
	F	23	54	—	—	—	—	—	—	
15 dicbre. (n.º 64)	e	7	27	37	—	—	—	—	—	
	e L	8	8	2	43	—	—	—	—	
	M_{N_1}	8	19	54	26	—	—	—	—	
	M_E	8	24	26	19	—	—	—	—	
	M_{N_2}	8	25	26	18	90	—	—	—	
	F	10	10	—	—	—	—	—	—	



Barcelona (Observatorio Fabra)

Fecha	Fase	Tiempo medio de Greenwich			Período	Amplitud			Δ	Observaciones
		h.	m.	s.		A _N	A _E	A _Z		
					s.	μ	μ	μ	Km.	
17 dicbre. (n.º 65)	e L	20	3	11	45	—	—	—	—	
	M _{N1}	20	10	50	24	—	—	—	—	
	M _E	20	13	13	21	—	—	—	—	
	M _{N2}	20	24	31	13	—	—	—	—	
	F	21	7	—	—	—	—	—	—	
28 dicbre. (n.º 66)	e	2	48	53	5	—	—	—	9880	
	e S	2	59	46	26	550	—	—	—	
	R ₁ S	3	6	30	26	345	—	—	—	
	eL	3	17	53	56	—	—	—	—	
	M _{N1}	3	20	53	45	690	—	—	—	
	M _{E1}	3	24	42	34	—	300	—	—	
	M _{N2}	3	34	00	19	100	—	—	—	
	M _{E2}	3	41	48	19	—	110	—	—	
	M _{N2}	3	43	31	18	135	—	—	—	
	M _{E3}	3	50	19	23	—	190	—	—	
F	5	41	—	—	—	—	—	—		
14 enero (n.º 1)	e L	6	26	25	41	—	—	—	—	
	M	6	32	48	20	—	—	—	—	
	F	6	58	—	—	—	—	—	—	
14 enero (n.º 2)	e	14	24	26	—	—	—	—	8970	
	S	14	33	57	8	—	—	—	—	
	P S	14	34	35	6	—	—	—	—	
	M _N	14	40	56	8	—	—	—	—	
	M _E	14	44	29	7	—	—	—	—	
	F	14	57	—	—	—	—	—	—	
16 enero (n.º 3)		7	5 aprox.		—	—	—	—	—	Movimiento sísmico sentido en Seira (Cataluña)
17 enero (n.º 4)		23	4 aprox.		—	—	—	—	—	Movimiento sísmico sentido en Seira (Cataluña)
20 enero (n.º 5)	e L	8	11	1	19	—	—	—	—	
	M _N	8	13	28	12	—	—	—	—	
	F	8	32	—	—	—	—	—	—	
20 enero (n.º 6)	e L	17	51	24	37	—	—	—	—	
	M _N	18	6	23	19	—	—	—	—	
	F	18	27	—	—	—	—	—	—	
7 febrero (n.º 7)	e L	9	34	46	28	—	—	—	—	
	M _N	9	47	50	17	—	—	—	—	
	F	10	18	—	—	—	—	—	—	
15 febrero (n.º 8)	e P	13	7	35	3	—	—	—	9360	
	R ₁ S	13	24	30	7	—	—	—	—	
	M _E	13	52	29	23	—	—	—	—	
	M _N	13	54	28	15	—	—	—	—	
	F	15	3	—	—	—	—	—	—	
22 febrero (n.º 9)	e L	16	54	8	21	—	—	—	—	
	M _E	17	3	44	19	—	—	—	—	
	M _N	17	5	3	22	—	—	—	—	
	F	17	3	—	—	—	—	—	—	
2 marzo (n.º 10)	e	3	42	56	3	—	—	—	8300	
	S	3	52	33	—	—	—	—	—	
	e L	4	5	26	34	—	—	—	—	
	M _N	4	12	51	11	—	—	—	—	
	M _E	4	13	26	15	—	—	—	—	
F	4	38	—	—	—	—	—	—		